

ИНСТИТУТ ФИЗИКИ ВЫСОКИХ ЭНЕРГИЙ

ИФВЭ - ОЭИУНК - 91-135

ИФВЭ 91-135
ОЭИУНК

Р.Н.Краснокутский, Л.Л.Курчанинов,
В.В.Сушков, Р.С.Шувалов

**БЫСТРЫЙ МАЛОШУМЯЩИЙ УСИЛИТЕЛЬ
С МАЛЫМ ВХОДНЫМ СОПРОТИВЛЕНИЕМ**

Направлено в ПТЭ

Протвино 1991

Аннотация

Краснокутский Р.И. и др. Быстрый малозумный усилитель с малым входным сопротивлением: Препринт ИФФУ 91-135. – Протвино, 1991. – 6 с., 4 рис., библиогр.: 5.

Исследован быстрый малошумящий предусилитель, используемый для получения короткого отклика в случае, если детектор в измерительном тракте можно описать емкостным импедансом при величине емкости 100-1000 пФ.

Abstract

Krasnokutsky R.N. et al. Fast Low-noise Preamplifier with Low Input Impedance: IHEP Preprint 91-135. – Protvino, 1991. – p. 6, figs. 4, refs.: 5.

The study of the low-noise preamplifier, which could be utilized to obtain short-duration response in the case when the detector in measurement circuit could be described by the capacitance of 100-1000 pF magnitude, is presented.

Введение

В последние годы в связи со строительством и проектированием ускорителей нового поколения (ННК, SSC, LHC) резко возросли требования к быстрдействию (скорость счета $3 \cdot 10^7$ частиц/с) измерительного тракта, в первую очередь детектора и предусилителя (ПУ). Независимо от принципа работы детектора длительность сигнала на входе ПУ не может быть короче той, что задает затухающая экспонента $\exp(-t/R_{in}C_d)$, где R_{in} - входное сопротивление усилителя, C_d - емкость детектора. Эта емкость может составлять 100-1000 пФ. Короткий импульс на выходе формирующего усилителя можно получить следующим образом: 1) уменьшая R_{in} ; 2) применяя цепи компенсации полюса нулем (КПН); 3) используя совместно решения 1) и 2). В настоящей работе использован первый вариант.

Принципиальная схема и результаты исследований макета

Известно, что уменьшить R_{in} можно, вводя после головного элемента усилитель тока и охватив оба каскада общей обратной связью. Чтобы входное сопротивление было чисто резистивным, импедансы цепи обратной связи и нагрузки должны удовлетворять соотношению (см., например, обзор^[1] и приведенные там ссылки на литературу)

$$R_f C_f = R_L C_L, \quad (1)$$

где индексы f относятся к обратной связи, L - к нагрузке.

Величина входного сопротивления может быть вычислена по формуле

$$R_{in} = i_e r_e / i_f = (R_f + R_L) / (g_m A R_L), \quad (2)$$

где $r_e = 1/g_m = \phi_t / I_e$, I_e - постоянный ток эмиттера транзистора, A - коэффициент усиления "внутреннего" усилителя по току, i_f - сигнальный ток в цепи обратной связи, ϕ_t - термический потенциал. Из приведенной формулы видно, что реализовать малое R_{in} затруднительно, так как если увеличивать A , неизбежно возникнут проблемы с устойчивостью, а значительное уменьшение R_f приводит к увеличению шума. Уменьшать отношение R_f/R_L бессмысленно, так как оно определяет коэффициент усиления ПУ в целом.

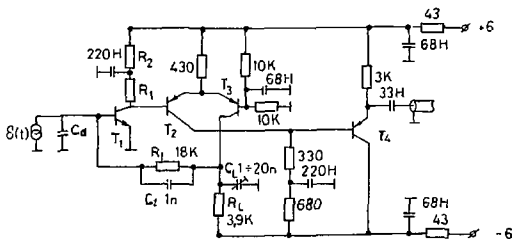


Рис. 1. Принципиальная схема предусилителя. Транзисторы: T_1 - КТ399; T_2, T_3 - КТ3123; T_4 - КТ363. Нагрузка коллектора головного транзистора для разных режимов имеет следующие значения: 1) при токе коллектора T_1 , равном 3,3 мА, $R_1 = 100$ Ом, $R_2 = 680$ Ом; 2) при токе коллектора T_1 , равном 9,4 мА, $R_1 = 51$ Ом, $R_2 = 200$ Ом.

Требование получить короткий сигнал на выходе ПУ и его устойчивости автоматически означает, что необходимо использовать СВЧ-транзисторы, а если при этом нужен еще и малый уровень шума, то среди отечественных биполярных транзисторов на роль головного элемента ПУ могут претендовать лишь два типа: КТ399 и КТ640^{2/1}. Однако у последнего наблюдается большой разброс по величине β , поэтому для массового

производства более пригоден первый, хотя граничная частота f_T у него меньше.

Принципиальная схема ПУ приведена на рис.1. Внутренний усилитель есть пара эмиттерно связанных транзисторов T_2 и T_3 . Выходной повторитель на T_1 включен в коллекторную цепь T_3 , так что в общую точку $R_L C_L$ и $R_f C_f$ не вносится ничего лишнего (кроме паразитной емкости монтажа и емкости коллектор-база T_3), чтобы проще можно было удовлетворить условию (1). Сопротивления R_1 и R_2 задают ток через T_1 и, если необходимо, изменяются так, чтобы сохранялось $R_1 + R_2$.

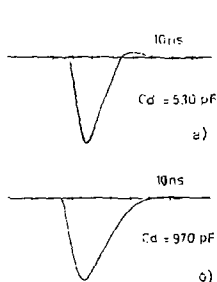


Рис. 2. Осциллограммы выходных сигналов при разной величине емкости детектора C_d .

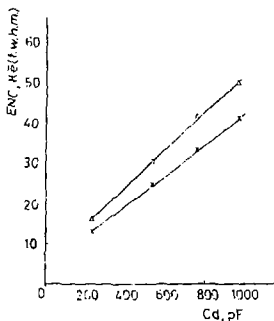


Рис. 3. Зависимость эквивалентного шумового заряда (ENC) от емкости детектора C_d . Величина ENC выражена в единицах полной ширины на половине амплитуды (fwhm). Треугольники соответствуют току коллектора T_1 , равному 9,1 мА, кресты - 3,3 мА.

Осциллограммы выходных сигналов для $C_d = 530$ и 970 пФ показаны на рис.2а и 2б. Если условие (1) не соблюдается, то на осциллограммах видны колебания. Входной сигнал - токовая δ -функция. На рис.3 приведена зависимость эквивалентного шумового заряда ENC от емкости

детектора при токах через T_1 , равных 3,3 и 9,4 мА. При измерении ENC выходной сигнал ПН усиливается бледрым усилителем со значительно более короткой импульсной характеристикой, чем отклик ПН, приведенные на рис.2. На рис.3 видно, что величина ENC достаточно мала и совпадает с простой оценкой

$$ENC = (2,35 e/2q_e) \sqrt{kT} \left[\frac{2r_{in} C_d^2}{\tau_{in}} + \frac{C_d + C_b}{g_m \tau_{in}} \right]^{\frac{1}{2}}, \quad (3)$$

где $C_d = 1/2\pi f_1 q_e$ заряд электрона, значение длительности формирования τ_{in} задано из аппроксимации отклика предусилителя импульсной характеристикой формирователя RC-CR-типа. Значения ENC, полученные по формуле (3), даны в ширине на половине основания функции распределения (FWHM), размерность - количество электронов. При оценке ENC по формуле (3) мы пренебрегаем параллельным шумом, что обоснованно для коротких формировок при значительной (100-1000 пФ) величине емкости детектора ($cm^{1/2}$ и $^{3/2}$). Оценка (3) дает $ENC = 43,5 \cdot 10^3 q_e$ при $C_d = 970$ пФ, а измеренное значение $ENC = 42,5 \cdot 10^3 q_e$.

Входное сопротивление, найденное из измерений постоянной времени затухания отклика при больших C_d , равно 9,5 Ом и близко к расчетной величине

$$R_{in} = \frac{(R_f + R_L)(g_{m2} + g_{m3})}{R_L R_1 g_{m1} g_{m2} g_{m3}} = 8 \text{ Ом} \quad (4)$$

при токе коллектора головного транзистора 9,4 мА и $R_1 = 51$ Ом. Расчетное значение R_{in} , найденное из выражения (4), оказывается заниженным из-за того, что измеренная крутизна транзисторов типа КТ3123, используемых в качестве T_2 и T_3 , на 30% меньше того значения g_m , которое задается термическим потенциалом и режимом.

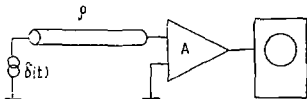


Рис. 1. Схема измерения входного impedance предусилителя по отражениям в длинную линию.

Однако метод измерений по времени затухания позволяет правильно определить R_{in} лишь на низких частотах. Такая оценка не годится для частот $\omega \approx \tau_f^{-1}$ (τ_f — время нарастания фронта выходного сигнала). Поэтому для частот $\omega \approx \tau_f^{-1}$ мы определили входное сопротивление следующим способом. На вход длинной линии с волновым сопротивлением 50 Ом через емкость $\cong 1$ пФ подавался перелад напряжений (эквивалент токовой δ -функции на дальнем от усилителя конце линии на рис.4) и наблюдался отклик прямого и многократно отраженных от входа ПУ и назад от источника токовой δ -функции в линию сигналов. По величине и форме отраженных сигналов можно определить активную часть входного импеданса ($R_{in} = 11,5$ Ом) и индуктивность реактивной части. Из-за наличия реактивной индуктивной составляющей во входном импедансе ПУ его нельзя согласовать с длинной линией во всем спектральном интервале, исключившем его полюсу продухания.

Заключение

Исследован малошумящий предусилитель, разработанный для использования в измерительном тракте с детекторами большой емкости для работы при высоких нагрузках. Схема позволяет осуществлять простую настройку длительности отклика при заданной величине емкости детектора. Значение эквивалентного шумового заряда ПУ определяется последовательным шумом головного транзистора и может оцениваться формулой (3). Величина активной части входного импеданса ПУ определяется выражением (4), что удовлетворительно согласуется с результатами измерений. При корректном применении в измерительном тракте, использующем ПУ при высоких скоростях счета, детектор должен быть представлен сосредоточенной емкостью. Если детектор — цепь с распределенными параметрами (см.1.5/), то неизбежные отражения затянут отклик.

Список литературы

- [1] Краснокутский Р.Н., Курчанинов Л.Л., Федакин Н.Н. и др. // ЭЧАЯ. 1991. Т.22. Вып.1. С.268.
- [2] Краснокутский Р.Н., Курчанинов Л.Л., Тихонов В.В. и др. Препринт ИФВЭ 88-116. - Серпухов, 1988.
- [3] Gatti E., Manfredi P.F. // La Rivista del Nuovo Cimento. 1986. V.9. P.1
- [4] Краснокутский Р.Н., Сушков В.В., Федакин Н.Н. и др. Препринт ИФВЭ 91-48. - Протвино, 1991.
- [5] Краснокутский Р.Н., Курчанинов Л.Л., Петухов Ю.П. и др. Препринт ИФВЭ 91-16. - Протвино, 1991.

Рукопись поступила 12 сентября 1991 года.

Краснокутский Р.И. и др.
Быстрый малощумящий усилитель с малым входным сопротивлением.
Редактор В.В.Герштейн. Технический редактор Л.П.Тимкина.

Подписано к печати 9.10.1991 г. Формат 60 x 90/16.
Офсетная печать. Печ.л. 0,38. Уч.-изд. ч. 0,50. Тираж 260.
Заказ 535. Индекс 3649. Цена 7 коп.

Институт физики высоких энергий, 142284, Протвино Московской обл.

7 коп.

Индекс 3649

ПРЕПРИНТ 91-135, ИФВЭ, 1991
